
INVENTAIRE ARCHÉOLOGIQUE (2018)

DIRECTION GÉNÉRALE DES PROJETS ROUTIERS ET DE L'EXPLOITATION DU RÉSEAU



INVENTAIRE ARCHÉOLOGIQUE (2018)

Direction générale des projets routiers et de l'exploitation du réseau

N° de dossier, ministère des Transports : 4103-16-AD01

Octobre 2018

Rapport préparé par :

Artefactuel

11 130, rue des Lauriers
Québec (Québec) G2B 3P5

Téléphone : 418-999-0138

Courriel : info@artefactuel.ca

Site Web : www.artefactuel.ca

Rapport préparé pour :

Ministère des Transports, de la Mobilité durable et de l'Électrification des transports
Direction de l'environnement
800, Place d'Youville, 13E étage
Québec (Québec) G1R 3P4

Permis de recherche archéologique délivré à Artefactuel, coop de travail

Numéro de permis
18-ARTE-26

RÉSUMÉ

Ce rapport présente les résultats de l'inventaire archéologique réalisé sur le territoire du ministère des Transports, de la Mobilité Durable et de l'Électrification des Transports et du ministère du Développement durable, Environnement et Lutte contre les changements climatiques, dans le cadre du projet de réfection majeure du pont Pie-IX (projet 154-98-057), reliant les îles de Montréal et Jésus (Laval) entre elles. La superficie inventoriée par une inspection visuelle et par la fouille de 116 sondages exploratoires manuels couvre un total approximatif de 19 500 m². Ces interventions, survenues entre le 24 et 28 septembre 2018, n'ont pas mené à la découverte de nouveaux sites archéologiques dans les limites de l'emprise du projet. Toutefois, la présence d'épais remblais très compacts ont représenté un obstacle important pour l'intervention, car ils ont limité la profondeur générale atteinte dans certains secteurs. Il s'avérerait donc pertinent de procéder à un inventaire mécanique pour vérifier la présence de sols archéologiques sous ces remblais pour les secteurs problématiques.

ÉQUIPE DE RÉALISATION

Ministère des Transports, de la Mobilité durable et de l'Électrification des transports

Direction de l'environnement

Frank Rochefort, archéologue, chargé d'Activités en archéologie

Artefactuel

Rédigé par :

Zocha Houle-Wierzbicki, archéologue, responsable de l'intervention archéologique

Louis Gilbert, archéologue, chargé de projet

Équipes de terrain :

Carlos Jacomé, technicien-archéologue senior

Jonas Leclerc, technicien-archéologue senior

Mathieu Gingras-Mercier, technicien-archéologue senior

TABLE DES MATIÈRES

LISTE DES TABLEAUX.....	v
TABLE DES ILLUSTRATIONS.....	vi
1.0 INTRODUCTION	1
2.0 PROJET ROUTIER INVENTORIÉ	2
3.0 MÉTHODOLOGIE.....	4
3.1 Recherches documentaires.....	4
3.2 Inventaires archéologiques.....	4
3.3 Consignation des données.....	5
4.0 COMPTE-RENDU DU PROJET n° 154-98-0578 – PONT PIE-IX.....	6
4.1 Contexte	6
4.2 Résultats.....	6
4.3 Discussion	6
6.0 CONCLUSION.....	24
7.0 BIBLIOGRAPHIE.....	25
7.1 Sources primaires	25
7.2. Sources secondaires.....	25
ANNEXE 1 : CATALOGUE DES PHOTOGRAPHIES	26
ANNEXE 2 : CATALOGUE DES DOCUMENTS GRAPHIQUES	28
ANNEXE 3 : CORRESPONDANCE DES SONDAGES ET POINTS GPS	29

LISTE DES TABLEAUX

Tableau 1 :	Description du projet 154-98-0578 - inventaire des abords du pont Pie-IX : résultats par secteur	2
Tableau 2 :	Projet 154-98-0578, synthèse des zones d'intervention archéologique dans la zone d'étude.....	6
Tableau 3 :	Inventaire archéologique – synthèse des activités – projet n° 154-98-0578, pont Pie-IX, municipalités Montréal/Laval	10

TABLE DES ILLUSTRATIONS

Page couverture : Projet n° 154-98-0578, vue générale du secteur 3B, vers le sud-ouest

Figure 1 :	Localisation générale du projet inventorié – Projet n°154-98-0578 Réfection du pont Pie-IX (source : MTMDET).....	3
Figure 2 :	Localisation du projet no 154-98-0578, Pont Pie-IX, municipalités de Montréal et Laval (source : www.geogratias.ca , carte topographique du SNRC 031H12 - Laval (extraits), 2018).....	11
Figure 3 :	Projet n° 154-98-0578, localisation des zones d'inventaire archéologique, Pont Pie-IX, municipalités de Montréal et de Laval (source : MTMDET).....	12
Figure 4 :	Figure 4: Pont Pie-IX en 1974, vue vers Laval. Pièce VM94-B124-002, Archives de Montréal, consultée le 10 octobre 2018.....	13
Figure 5 :	Vue satellite des quartiers résidentiels à proximité du pont Pie-IX, (<i>Google Earth</i> 2018).	13
Figure 6 :	Projet n° 154-98-0578, secteur 3A, vue générale du parc, vers l'ouest (photo 154-98-0578_18).....	14
Figure 7 :	Projet n° 154-98-0578, secteur 3A, paroi nord du sondage 3A6, vers le sud photo 154-98-0578_24).....	14
Figure 8 :	Projet no 154-98-0578, secteur 3B, vue générale de l'emprise à partir de son extrémité nord, vers le sud (photo 154-98-0578_116).....	15
Figure 9 :	Projet n° 154-98-0578, profils stratigraphiques types.....	12
Figure 10 :	Projet no 154-98-0578, secteur 3C, paroi est du sondage test 3C13, vers l'est (photo 154-98-0578_81).....	16
Figure 11 :	Projet no 154-98-0578, secteur 3D, paroi sud du sondage test 3D2, vers le sud (photo 154-98-0578_106).....	16
Figure 12 :	Projet no 154-98-0578, secteur 3E, vue générale de l'îlot ouest, vers le sud-est (photo 154-98-0578_148).....	17
Figure 13 :	Projet no 154-98-0578, secteur 3E, paroi est du sondage 3E5, vers l'est (photo 154-98-0578_142).....	17
Figure 14 :	Vue satellite du viaduc Lévesque en réfection, présence d'une passerelle piétonnière temporaire dans le secteur 3E, vers l'ouest (<i>Google Maps</i> , en ligne, consultée le 10 octobre 2018).....	18

1.0 INTRODUCTION

Ce rapport fait état des résultats de l'inventaire archéologique effectué à la demande du ministère des Transports, de la Mobilité durable et de l'Électrification des transports (MTMDET) en vue des travaux de réfection majeure du pont Pie-IX (projet 154-98-0578) reliant les villes de Montréal et Laval. L'objectif de cette expertise archéologique était de vérifier la présence ou l'absence de sites archéologiques dans l'emprise du projet, et le cas échéant, d'identifier, de localiser, de délimiter et d'évaluer ces derniers, dont l'intégrité risquait d'être perturbé par les travaux d'aménagement et de réfection du pont. Cette approche s'inscrit dans le contexte de la protection des biens archéologiques du Québec et dans le cadre des mesures préventives mises en place par le MTMDET.

Le mandat confié à Artefactuel comprenait les recherches documentaires antérieures préalables au terrain, la réalisation d'un inventaire archéologique de terrain conforme à la méthodologie du Ministère, l'évaluation qualitative et quantitative des sites archéologiques connus ou mis au jour dans le cadre des inventaires, et la rédaction d'un rapport d'intervention. Au cours de cette intervention réalisée entre le 24 et 28 septembre 2018, la totalité de l'emprise du projet, faisant approximativement 19 500 m², a fait l'objet d'une analyse archéologique. Elle a été réalisée par une équipe composée d'un archéologue responsable de l'intervention accompagnée de trois techniciens-archéologues.

Le présent rapport recense toutes les données découlant de cette intervention archéologique. Après avoir localisé le projet réalisé, seront décrits le mandat et la méthodologie utilisée, puis suivront les résultats accompagnés d'une mise en contexte décrivant l'état des connaissances en archéologie, et les contextes géographiques, préhistoriques et historiques de la zone d'étude. Les informations relatives à l'inventaire sont résumées sous forme de tableaux et le projet est localisé sur une carte topographique, une photographie aérienne et un plan illustrant les limites de l'emprise du projet. La conclusion et les recommandations concluront ce rapport.

2.0 PROJET ROUTIER INVENTORIÉ

Tableau 1. Description du projet 154-98-0578 - inventaire des abords du pont Pie-IX : résultats par secteur

Ville	Secteur	Description	Type d'expertise	Nb total de sondages	Nb sondages tests	Résultat
Montréal	MTL-18-14-3A	Portion sous et à l'est du pont Pie-IX	Inspection visuelle et sondages manuels	14	1	Négatif
Laval	MTL-18-14-3B	Terre-plein sud	Inspection visuelle et sondages manuels	20	1	Négatif
	MTL-18-14-3C	Terre-plein nord-est	Inspection visuelle et sondages manuels	35	2	Négatif
	MTL-18-14-3D	Terre-plein nord-ouest	Inspection visuelle et sondages manuels	42	1	Négatif
	MTL-18-14-3E	Portion au sud du boulevard Lévesque, à l'est et l'ouest du pont	Inspection visuelle et sondages manuels	7	1	Négatif

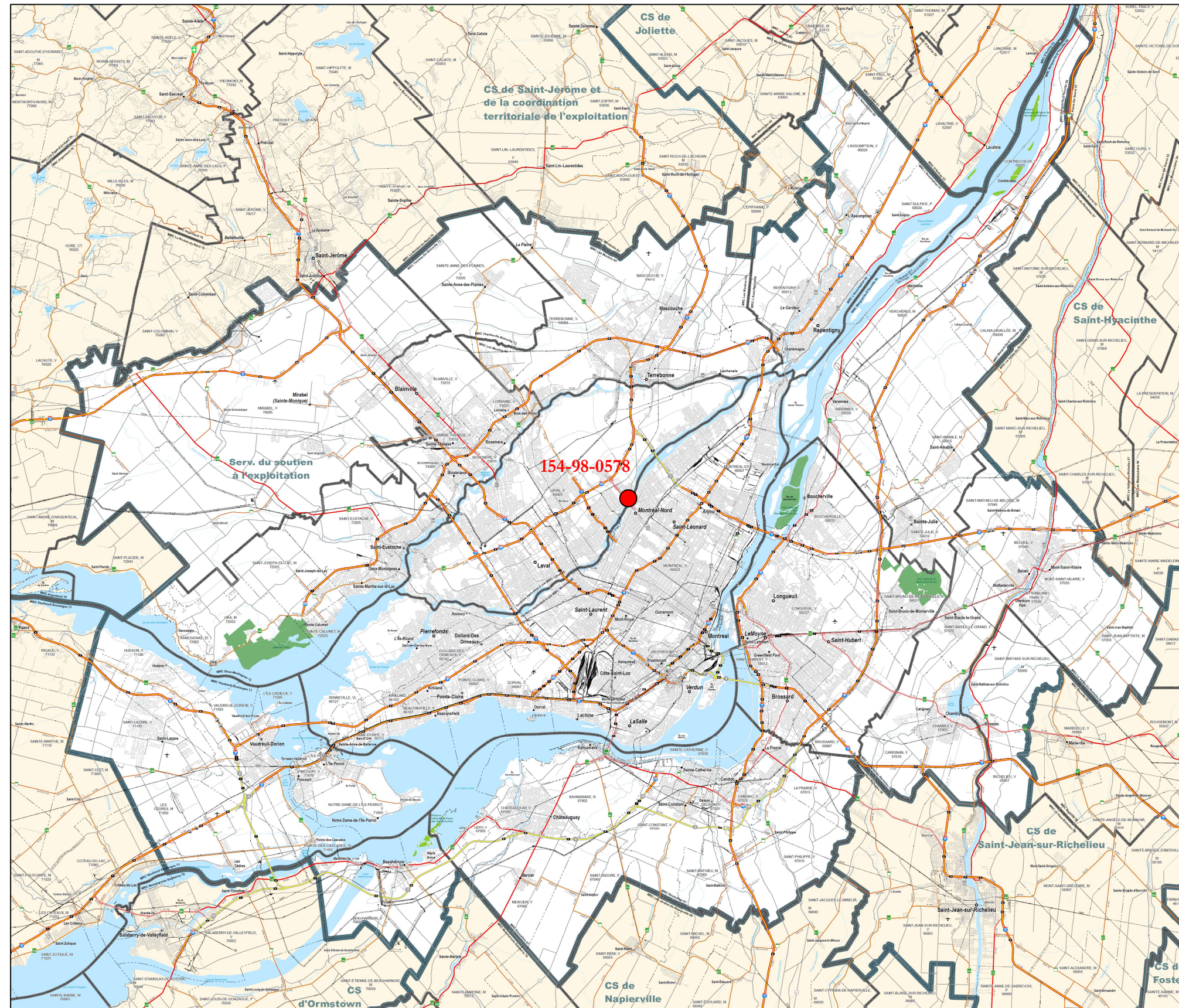


Figure 1. Localisation générale du projet inventorié – Projet n°154-98-0578, réfection du pont Pie-IX (source : MTMDET).

3.0 MÉTHODES ET TECHNIQUES D'INVENTAIRE

Les méthodes et techniques utilisées lors de cet inventaire archéologique sont conformes aux directives méthodologiques prescrites dans les stipulations du présent contrat. Les techniques d'intervention sur le terrain pouvaient toutefois varier selon l'état des lieux, la topographie et la nature des dépôts en place.

3.1 Recherches documentaires

Les recherches documentaires relatives à la présence de sites archéologiques, à la nature du patrimoine historique euroquébécois et autochtone et à la compréhension du paléoenvironnement ont été réalisées, couvrant la superficie indiquée par le Ministère lors de l'attribution du mandat. Les données recueillies proviennent de l'application Geo WEB, des rapports de la Bibliothèque numérique archéologique du MCC, de la *Bibliothèque et Archives nationales du Québec* (BAnQ), du *Répertoire du patrimoine culturel du Québec* (RPCQ), ainsi que des divers rapports et publications disponibles pour la région à l'étude.

3.2 Inventaire archéologique

Une inspection visuelle systématique de l'ensemble de la zone d'inventaire archéologique du projet a d'abord été effectuée. Cette démarche permettait de cibler les secteurs présentant une surface relativement horizontale et se prêtant à la réalisation de sondages archéologiques. Les secteurs affectés de pentes abruptes, d'une abondance de plantes urticantes ou qui étaient situés sur des affleurements rocheux étaient alors exclus. L'inspection visuelle permettait également de repérer et localiser des vestiges ou des artefacts visibles en surface.

Par la suite, des puits de sondage archéologique étaient systématiquement excavés. Ceux-ci faisaient minimalement 900 cm² et étaient creusés à la pelle. Les horizons organiques de surface étaient d'abord enlevés et examinés, puis les horizons minéraux ou organiques enfouis étaient fouillés à l'aide d'une truelle. La profondeur de chaque puits de sondage était déterminée par l'identification d'un niveau naturel non perturbé par des activités anthropiques. La distance moyenne entre les sondages était généralement de 10 m sur une même ligne, elle-même espacée d'environ 10 m de la ligne suivante. De manière générale, un sondage était ainsi réalisé tous les 100 m².

Un sondage test était réalisé, lorsque possible, dans chaque secteur identifié, à tous les 500 m ou à chaque fois qu'un changement significatif était noté au sein d'un même secteur. Ces sondages faisaient une superficie de 2 500 cm², et atteignaient une profondeur de 80 cm si la nature des sols le permettait. Leur stratigraphie était systématiquement enregistrée.

Malheureusement, certains sondages ont été légèrement distancés de plus des 10 m initialement prévus et la base de ces derniers a rarement atteint une profondeur de plus de 55 cm en raison de la présence d'épais remblais très compacts qui s'avéraient très difficiles à fouiller manuellement. Toutefois, ce changement de stratégie a été compensé par un plus grand nombre de sondages test pour ces secteurs afin valider la séquence des sols.

3.3 Consignation des données

Les données ont été principalement consignées au sein de fiches d'enregistrement normalisées. Elles ont été utilisées pour décrire la stratigraphie des sondages tests ou les descriptions environnementales générales. Chaque sondage était localisé au GPS programmé selon le système de projection MTM et le système de référence géodésique NAD83 (fuseau 8). Une couverture photographique détaillée des interventions a été réalisée à l'aide d'un appareil numérique de haute résolution, et les clichés ont été enregistrés dans un catalogue photo détaillé (Annexe 1).

Même si une partie de l'intervention fut réalisée sur le territoire de la ville de Laval, l'ensemble a été enregistré sous le code temporaire MTL14-23-3, délivré par la Direction de la culture et du patrimoine de la Ville de Montréal, afin de faciliter les enregistrements.

4.0 COMPTE-RENDU DU PROJET n° 154-98-0578 – PONT PIE-IX

4.1 Contexte

Le projet n°154-98-0578 consiste en la réfection majeure du pont Pie-IX reliant les villes de Montréal et de Laval (figures 2 et 3). Les approches du pont débouchent sur le boulevard Pie-IX au sud, et sur la route 125 au nord. Du côté de Laval, la berge est séparée du niveau habitable par une falaise abrupte, s'élevant à environ 35 m NMM. Des résidences et des petits commerces clôturent les approches du pont. À Montréal, le pont s'étend au-dessus du niveau habitable jusqu'à ce que l'approche atteigne le boulevard Henri-Bourassa. À l'ouest du pont, des terrains privés s'étendent du boulevard Gouin jusqu'à la falaise, alors que pour la zone à l'est du pont, les propriétés sont séparées de la falaise par l'aménagement d'un sentier pédestre et d'une piste cyclable. Cette piste cyclable effectue un virage à l'est du pont pour rejoindre le boul. Gouin et poursuit son trajet vers l'ouest. À Laval, l'approche de l'autoroute a été aménagée à une altitude inférieure par rapport au niveau d'habitation, puis elle remonte tranquillement par-dessus le boulevard de la Concorde. Un quartier résidentiel caractérise le côté ouest du pont, alors qu'il s'agit plutôt de bâtiments commerciaux et l'aménagement des bretelles d'accès à l'ouest. Pour la section comprise entre la falaise et le sud du boulevard Lévesque, un belvédère a été aménagé à l'est du pont, et un espace gazonné caractérise la portion à l'ouest.

L'emprise de l'inventaire archéologique s'étend, à l'est et sous le pont, de la berge à quelques mètres au sud du boulevard Gouin pour le secteur situé à Montréal. Pour la portion située à Laval, l'emprise débute à la berge, sur un total approximatif de 100 m de largeur débordant de part et d'autre du pont, jusqu'au boulevard Lévesque, puis comprend les terre-pleins (3) à l'est de la route 125, entre les boulevards Lévesque et de la Concorde. La topographie de ces secteurs est plutôt similaire, la zone pouvant faire l'objet d'un inventaire manuel se situe en amont de la rivière des Prairies; et elle est relativement plane.

La zone à l'étude s'étend sur 2 km autour du centre du projet, englobant un secteur hautement résidentiel. Elle est située dans le bassin hydrographique du Saint-Laurent. Elle fait partie de l'unité de paysage régional de Montréal, dans la région écologique de la Plaine du bas Outaouais et de l'archipel de Montréal du domaine bioclimatique de l'Érablière à caryer cordiforme. Cette unité de paysage se caractérise par « une vaste plaine dont les rares éléments distinctifs sont les collines Montérégiennes ainsi que quelques coteaux concentrés dans l'unité de paysage régional 1 – Hull » (Major, 2012 : p. 2.1), couverte essentiellement par des « dépôts marins, principalement composés d'argile » (Robitaille et Saucier, 1998 : 51).

L'application Géo WEB du MCC révèle que deux zones d'information archéologique sont situées au sein du secteur d'étude (tableau 2) et deux sites archéologiques y sont connus (tableau 3). Comme il s'agit d'occupation domestique historique, leur existence n'a aucune influence sur le secteur du pont Pie-IX. Aucune étude de potentiel n'a été répertoriée pour ce secteur. Le RPCQ liste un seul site patrimonial disposant d'un statut au sein de la zone d'étude (MCC, 2018; tableau 4), et le secteur est évalué à valeur patrimoniale intéressante selon l'étude sur le patrimoine urbain de l'Arrondissement de Montréal-Nord (Division du patrimoine et de la toponymie, 2005 : 29).

Tableau 2 : Projet 154-98-0578, synthèse des zones d'intervention archéologique dans la zone d'étude

No	Référence	Localisation	Distance	Résultat
1	Ethnoscop, 2009	Rive de la rivière des Prairies, parc-nature de l'Île-de-la-Visitation	1,2 km	Positif
2	Arkéos, 1995	2900 boulevard Gouin Est, Montréal	1,9 km	Positif

Tableau 3 : Projet 154-98-0578, sites archéologiques connus dans la zone d'étude

Borden	Localisation	Bassin	Altitude mer	Distance du projet	Identité culturelle	Fonctions	Sources
BjFj-19 (maison Demers)	4765, boulevard Gouin, à Montréal	St-Laurent	n/d	815 m	▪ Historique	▪ Domestique	Barriault, 1984
BjFj-78 (maison Dagenais)	2900, boulevard Gouin, à Montréal	St-Laurent	27 m	1,75 m	▪ Historique (1760-1899)	▪ Domestique	Arkéos, 1995

Tableau 4 : Projet 154-98-0578, sites patrimoniaux connus dans la zone d'étude

Nom	Localisation	Datation	Statut	Distance du projet	Usage	Source
Maison Brignon-dit-Lapierre	4251, boulevard Gouin	Vers 1770	Cité	200 m	Fonction résidentielle (maisons rurales et urbaines)	CPRQ, 2018; CUM, 1986; D'Amour et Stewart, 2006; Pinard, 1991; VM, 2007.

L'absence de site archéologique autre que les deux sites résidentiels dans la zone d'étude n'implique pas une absence de présence humaine, tant aux périodes préhistorique qu'historique. En effet, le secteur présente un potentiel préhistorique de par sa proximité avec la rivière des Prairies et la nature des sols qui caractérisent les lieux. Des traces d'occupation humaine préhistoriques ont d'ailleurs été découvertes sur un site situé à une dizaine de kilomètres à l'est du secteur à l'étude (BkFi-7) (Arkéos 2008 : 17). La présence d'Euroquébécois sur les rives de Montréal-Nord et de Saint-Vincent-de-Paul (Laval) apparaît dès le deuxième quart du XVI^e siècle, bien que le peuplement du secteur ne se développera de manière importante qu'à partir du début du XVIII^e siècle (Ville de Montréal, en ligne; Ville Laval, en ligne).

La nature du potentiel historique dans l'emprise des travaux est principalement d'ordre domestique. Le pont, construit en 1936-1937, était alors aménagé dans un secteur faiblement occupé comparé à aujourd'hui, surtout à Laval (figures 4 et 5). Cependant, comme l'illustrent les photographies de l'époque, quelques résidences se trouvaient à proximité du pont. Lors de sa réfection majeure et de son agrandissement entre 1965 et 1968, on observe que les secteurs se sont densifiés. Bien que les travaux ont entraîné un réaménagement important des environs du pont, par le rehaussement de certaines zones notamment, il est possible que les traces de ces anciennes occupations domestiques subsistent toujours sous les remblais.

Le mandat archéologique consistait à effectuer un inventaire archéologique dans l'emprise des travaux, cette dernière étant divisée en cinq zones réparties entre Montréal (1) et Laval (4) pour une superficie couvrant environ 19 500 m² (figure 3). La sous-opération 3A couvre l'emprise des travaux sur l'île de Montréal, alors que les sous-opérations suivantes sont localisées à Laval. Chaque zone située sur un terre-plein constitue une sous-opération indépendante : la sous-opération 3B concerne la portion sud du terre-plein est, et 3C, la portion nord. Le terre-plein accolé contre la route 125N constitue la sous-opération 3D. Et finalement, la dernière sous-opération, 3E, comprend l'ensemble de la zone d'inventaire située au sud du boulevard Lévesque. Par conséquent, des sondages y ont été excavés à tous les 10 m. Elle a été inventoriée en suivant la méthodologie habituelle présentée au chapitre 3. Cet inventaire a eu lieu entre le 24 et 28 septembre 2018.

4.2 Résultats

Le secteur MTL-18-14-3A est caractérisé par trois types de paysage. D'abord, la surface située sous le pont était principalement recouverte de béton, d'asphalte ou d'un lit de pierres. Puis, à l'est du pont, se trouvait l'unique zone du secteur dans laquelle pouvaient être réalisés des sondages manuels; il s'agit du plateau gazonné situé en amont de la rivière des Prairies, à l'intérieur des limites du parc comprenant la piste cyclable et le sentier pédestre (figure 6). Et finalement, le troisième type consistait en la falaise et la berge de la rivière. Ces derniers ont fait l'objet d'une inspection visuelle uniquement en raison de la pente abrupte et de l'épaisse végétation qui tapisse la falaise. Cette zone montre des traces importantes d'érosion et de lessivage, mais aussi d'une accumulation de débris (ex. gros fragments de béton, armatures de métal), rendant le potentiel archéologique pratiquement absent ou inaccessible. Néanmoins, des sondages archéologiques ont pu être effectués sur le plateau, pour un total de 14 sondages manuels. Ceux-ci ont révélé la présence de divers niveaux associés à l'aménagement du parc et du pont (ex. la piste cyclable, les culées du pont, les fils électriques reliant les lampadaires). Le sondage 3A8 a présenté un fragment de terre cuite fine blanche vitrifiée dans la couche suivant la tourbe. L'agrandissement de ce sondage pour servir de sondage test a permis d'identifier cette couche comme un remblai. La fouille de ce sondage a été interrompue avant d'atteindre la profondeur exigée, en raison de la compacité et du grand nombre de pierres. Néanmoins lorsqu'il était possible de traverser ces remblais dans les sondages réguliers, leur présence était observable jusqu'à 80 cm de profondeur (figure 7). Ces remblais contenaient de rares objets, tous datant du XIX^e au XXI^e siècle (ex. clous, TCFb, plastique).

Le secteur MTL-18-14-3B consiste au triangle sud du terre-plein situé le plus à l'est du pont. Il s'agit d'un espace gazonné comportant une légère pente vers le sud (figure 8). Cette zone a fait l'objet d'une inspection visuelle ainsi que vingt sondages manuels. La pointe nord comportait de l'herbe à puce, justifiant l'exclusion de cette section des zones sondées. Sous la tourbe, un maximum de deux remblais a été identifié. La base de ces remblais n'a pas été atteinte malgré le sondage test¹ qui faisait une profondeur de 85 cm (figure 9), excepté quelques sondages de la pointe est du secteur dont le roc est apparu à partir de 40 cm sous la surface. Le remblai supérieur est composé d'une argile légèrement limoneuse gris pâle, relativement homogène et très compacte, contenant une faible quantité de cailloux et de gravillon. Le remblai inférieur est plutôt caractérisé par un limon argileux gris foncé, hétérogène et très compact, comportant une très grande quantité de petites pierres, de gravier et de cailloutis. La présence de plastique et de styromousse dans ces remblais confirme l'aspect récent de ces remblais.

Le secteur MTL-18-14-3C correspond au triangle nord du terre-plein le plus à l'est du pont. Il présente une pente légère vers le nord-est. Excepté une petite portion au nord-est de la sous-opération, la séquence stratigraphique est similaire à celle observée dans le secteur 3B, on y observe les mêmes remblais. Un sondage test² a été réalisé dans la portion qui présentait une séquence stratigraphique plus intéressante (figure 9). En effet, sous le lit de pose et les deux remblais précédemment décrits, un niveau naturel, dont la surface aurait été arasée, a possiblement été identifié; il s'agit d'un limon légèrement sableux brun pâle, homogène et moyennement compact, contenant de rares petites pierres arrondies (figure 10). Aucun artefact n'a été retrouvé dans ce secteur.

¹ Sondage MTL-18-14-3B5 : 605241E 5050703N, altitude de 39 m NMM, précision de 2 m.

² Sondage MTL-18-14-1C13 : 605226E 5050871N, altitude de 36 m NMM, précision de 3 m.

Le secteur MTL-18-14-3D consiste au terre-plein compris entre la route 125N et la bretelle d'entrée accessible par le boul. de la Concorde. La portion ouest présente une pente vers le nord-est, relativement faible pour la portion sud et de plus en plus forte vers le nord résultant de l'aménagement du viaduc. Le roc affleure pratiquement la surface pour la portion sud du secteur et atteint une profondeur maximale d'environ 60 cm pour le sondage le plus au nord (voir sondage test 3D2³, figure 9). Le roc a été atteint dans un peu moins que la moitié des 42 sondages réalisés. La principale séquence stratigraphique identifiée consiste en une couche d'argile limoneuse brune ou grise et homogène, très compacte, comprenant une faible quantité de pierres angulaires et de cailloux, située sous la tourbe. Ce remblai était généralement posé sur une couche argileuse gris foncé, hétérogène et moyennement compacte qui contenait une grande quantité de pierres angulaires (figure 11). Lorsqu'il était possible de le fouiller entièrement, la base de ce niveau était posée sur le roc; il est d'ailleurs interprété comme le résultat du roc brisé lors de l'aménagement/rehaussement/nivellement du secteur pour la construction de la route et du viaduc.

Le secteur MTL-18-14-3E correspond aux deux îlots de chaque côté du pont, au sud du boulevard Lévesque. Tout comme le secteur 3A, il présente trois types de paysage. D'abord, il s'agit d'un petit plateau gazonné au point le plus haut de chacun des îlots, suivi d'une pente forte vers l'approche du pont comportant quelques arbres, arbustes et longues herbes (figure 12). Et finalement, la falaise, recouverte d'une végétation dense, sépare la berge du plateau. Les plateaux représentent la seule aire possible pour effectuer les sondages. Un total de sept sondages, dont un sondage test⁴, y a été effectué. Un sondage sur l'îlot est a été abandonné à cause de la présence de nombreux sacs plastiques contenant des cadavres de rongeur sous la tourbe. Ailleurs, il n'a pas été possible de creuser au-delà de 55 cm en raison de la compacité importante des remblais de gravier ou constitués d'une grande quantité de pierres (figure 13). Parmi les objets trouvés, on note la présence d'une lame de scie ronde, de pièce de monnaie (5 ¢ de 1981) et d'objets divers en plastique.

4.3 Discussion

Le projet de réfection majeure du pont Pie-IX n° 154-98-0578 a fait l'objet d'un inventaire archéologique sur une emprise totalisant 2 202 m de longueur, sur une largeur variant entre 50 et 100 m, pour une superficie totale approximant 19 500 m². L'inspection visuelle et les 116 sondages réalisés dans le cadre de cette intervention n'ont pas livré de découvertes archéologiques. Bien que l'inventaire des cinq secteurs a pu être mené conformément aux exigences du MTMDET, il appert important de nuancer ces résultats. Bien que le secteur 3A se révèle perturbé par les appuis du pont et par l'aménagement de la piste cyclable, la base des remblais n'a pas été atteinte. Il est fort possible que les niveaux associés à l'occupation domestique des premiers habitants de la rue Gouin perdurent sous ces remblais, principalement près de la limite est de la zone d'inventaire archéologique. En ce qui concerne les secteurs 3B et 3C, des remblais composés d'une très grande quantité de pierres ont été identifiés sous les remblais observés dans le secteur 3D, dont la base s'appuyait directement sur le roc. La surface du secteur 3D semble avoir été décapée jusqu'au roc lors de l'aménagement routier. Des forages (CH-TF-08-12 et CH-TF-09-12) réalisés dans le cadre de l'étude géotechnique et de caractérisation environnementale des sols de LVM (2016) en prévision des travaux de réfection du viaduc du boulevard Lévesque montrent que les sols en place ont été décapés jusqu'au roc pour y aménager l'infrastructure routière. Le roc apparaît entre 1,1 et 1,6 m sous la surface bitumineuse (LVM 2016 : 16-17). Bien qu'ils soient localisés en dehors de la limite ouest du secteur 3B, ces

³ Sondage MTL-18-14-1D2 : 605163E 5050830N, altitude de 35 m NMM, précision de 3 m.

⁴ Sondage MTL-18-14-1E5 : 605318E 5050551N, altitude de 44 m NMM, précision de 4 m.

remblais ressemblent fortement à ceux rencontrés dans la portion ouest de 3B et 3C. Cela suggère donc l'absence de sols en place pour ces secteurs. Seules les portions nord-est des secteurs 3B et 3C semblent avoir été préservées, mais l'absence de découverte archéologique suggère un potentiel relativement faible, si ce n'est nul.

Les nombreuses photographies prises du pont Pie-IX depuis sa construction suggèrent différents rehaussements généraux du secteur en fonction des diverses phases de réaménagement des infrastructures du pont et des routes attenantes. On peut penser qu'il en va de même pour le secteur 3E, dont les remblais infranchissables manuellement étaient principalement composés de gravier et de poussière de pierre compactée. Ces remblais sont fort probablement associés en partie à l'aménagement de la passerelle piétonnière visible sur le relevé aérien de *Google Street View* dont les images dateraient de 2012-2013 (figure 14) et la construction même du viaduc. Néanmoins, selon les forages effectués dans les approches du viaduc (ST-TF-24-12 à ST-TF-26-12), le roc apparaît entre 3,0 et 4,0 m de profondeur, soit entre 32 et 34 m NMM, à une altitude similaire pour les forages situés au nord du viaduc (EN-TF-01-12 et EN-TF-02-12), dans lesquels des niveaux naturels semblent présents (LVM 2016 : 8). Étant situé en bordure de la falaise, le secteur 3E peut avoir fait l'objet de rehaussement uniquement. Bien que faible par sa localisation et les nombreuses perturbations l'entourant, le potentiel archéologique demeure. Par ailleurs, des résidences sont observables sur les terrasses de part et d'autre du viaduc de la figure 4, à une altitude inférieure de celle présente actuellement.

Tableau 5 : Inventaire archéologique – synthèse des activités – projet n° 154-98-0578, pont Pie-IX, municipalités Montréal/Laval

Secteur	Localisation					Technique inventaire	Nb de sondages		Topographie	Stratigraphie	Remarque
	Début (ch)	Fin (ch)	Long. max. (m)	Larg. max. (m)	Superficie approx. (m ²)		+	-			
MTL-18-14-3A (MTL)	n/d	n/d	92	50	4 167	IV SA	0	14	Plane, bordée au nord par une pente abrupte vers la rivière	- Tourbe - Remblais	Base des sondages dans un remblai argileux comportant une grande quantité de pierres
MTL-18-14-3B (Laval)	n/d	n/d	83	50	2 075	IV SA	0	20	Relativement plane, pente légère vers le sud	- Tourbe - Remblais - Roc possiblement atteint dans un sondage	Base des sondages dans un remblai argileux comportant une grande quantité de pierres Portion nord non sondée, présence d'herbe à puces
MTL-18-14-3C (Laval)	n/d	n/d	85	68	2 890	IV SA	0	35	Relativement plane, pente légère vers le nord-est	- Tourbe - Remblais argileux - Roc possiblement atteint dans un sondage près de la limite sud-est	Base des sondages dans un remblai argileux comportant une grande quantité de pierres
MTL-18-14-3D (Laval)	n/d	n/d	100	55	5 345	IV SA	0	42	Relativement plane, pente moyenne vers l'est	- Tourbe - Remblais - Roc	La surface semble avoir été décapée jusqu'au roc lors des travaux d'aménagement, puis rehausser. Portion nord-ouest en pente abrupte, n'a pas été sondée. Présence de plantes urticantes.
MTL-18-14-3E (Laval)	n/d	n/d	100	83	6 980	IV SA	0	7	Plane, bordée au sud par une pente abrupte vers la rivière et une pente centrale vers le pont	- Tourbe - Remblais	Base des sondages dans un remblai argileux comportant une grande quantité de pierres
TOTAL					21 457		0	116			

Légende : IV : inspection visuelle

SA : sondages alternés

SP : sondages ponctuels

TM : tranchées mécaniques

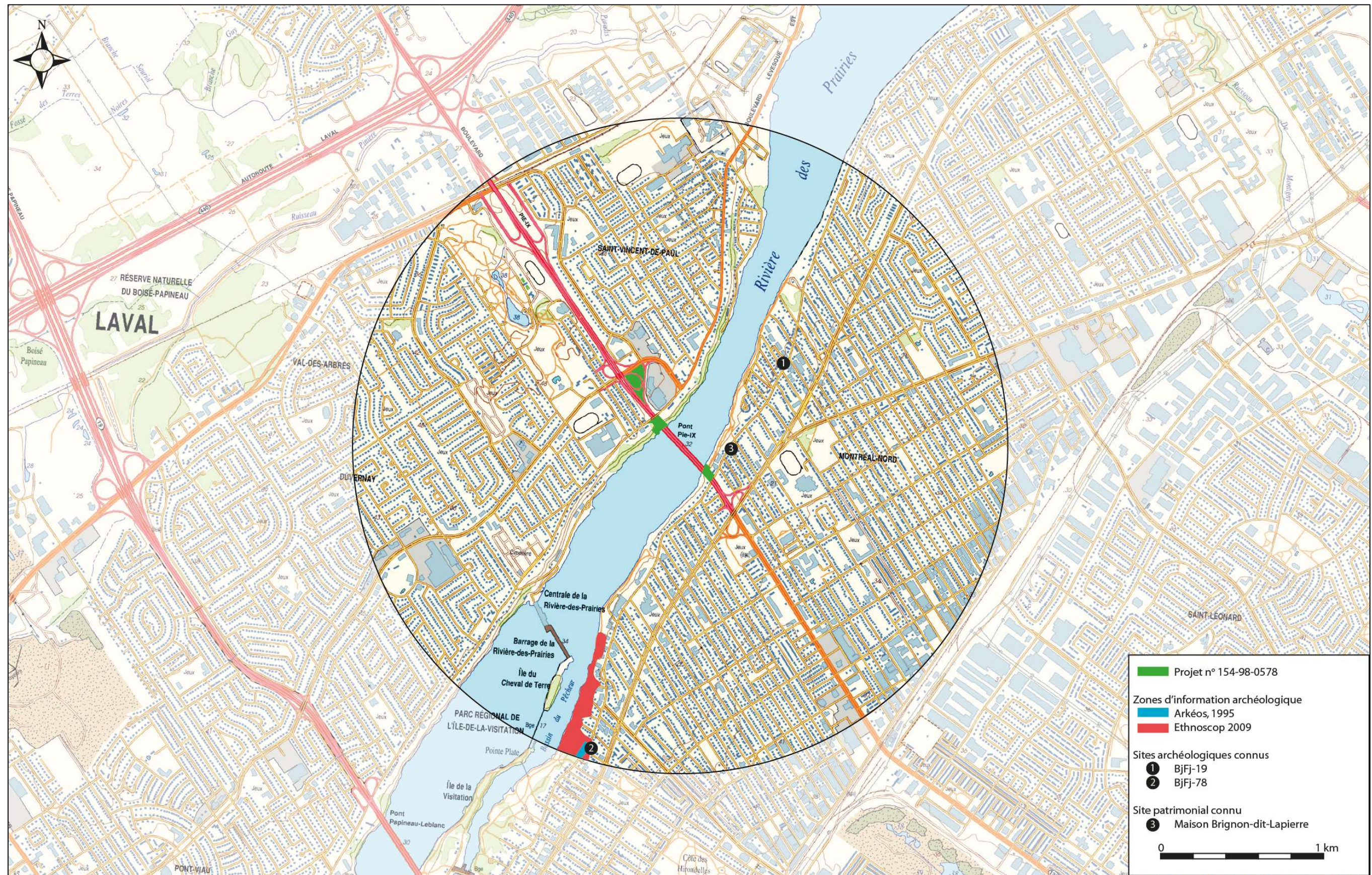


Figure 2 : Localisation du projet no 154-98-0578, Pont Pie-IX, municipalités de Montréal et Laval, des zones d'information archéologique et des sites connus (source : www.geogratis.ca, carte topographique du SNRC031H12 - Laval (extrait), 2018)



Figure 3 : Projet n° 154-98-0578, localisation des zones d'inventaire archéologique, Pont Pie-IX, municipalités de Montréal et de Laval (source : Google Earth).



Figure 4: Pont Pie-IX en 1974, vue vers Laval (source : pièce VM94-B124-002, Archives de Montréal, consultée le 10 octobre 2018)

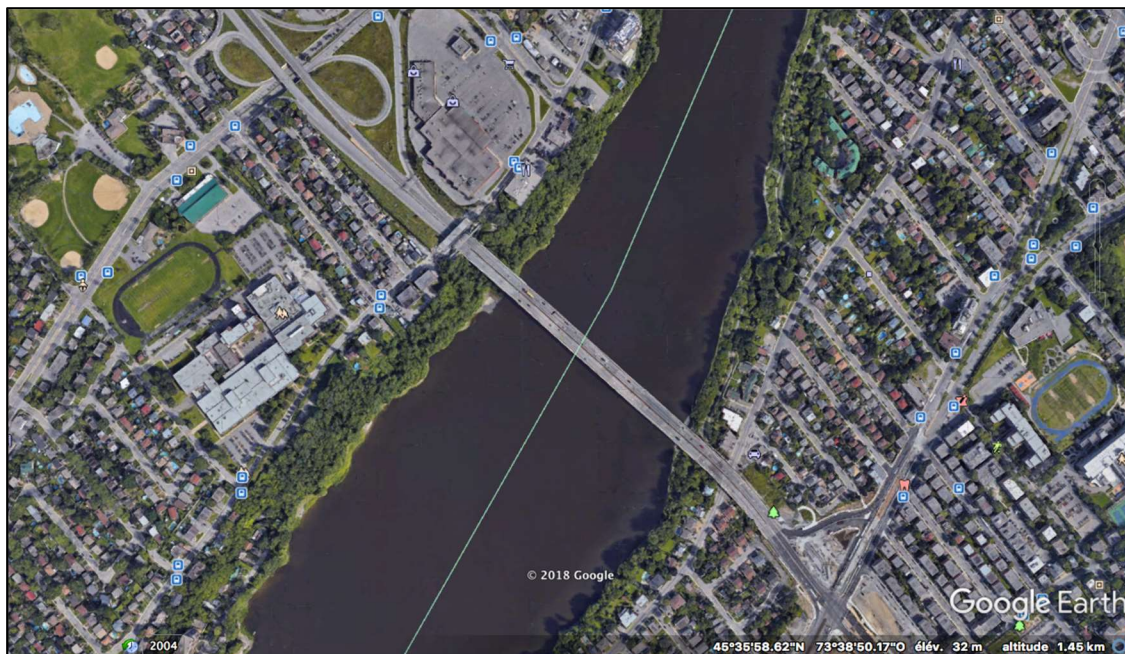


Figure 5: Vue satellite des quartiers résidentiels à proximité du pont Pie-IX, (Google Earth 2018)



Figure 6: Projet n° 154-98-0578, secteur 3A, vue générale du parc, vers l'ouest (photo 154-98-0578_18).



Figure 7 : Projet n° 154-98-0578, secteur 3A, paroi nord du sondage 3A6, vers le sud photo 154-98-0578_24).



Figure 8 : Projet no 154-98-0578, secteur 3B, vue générale de l'emprise à partir de son extrémité nord, vers le sud (photo 154-98-0578_116).

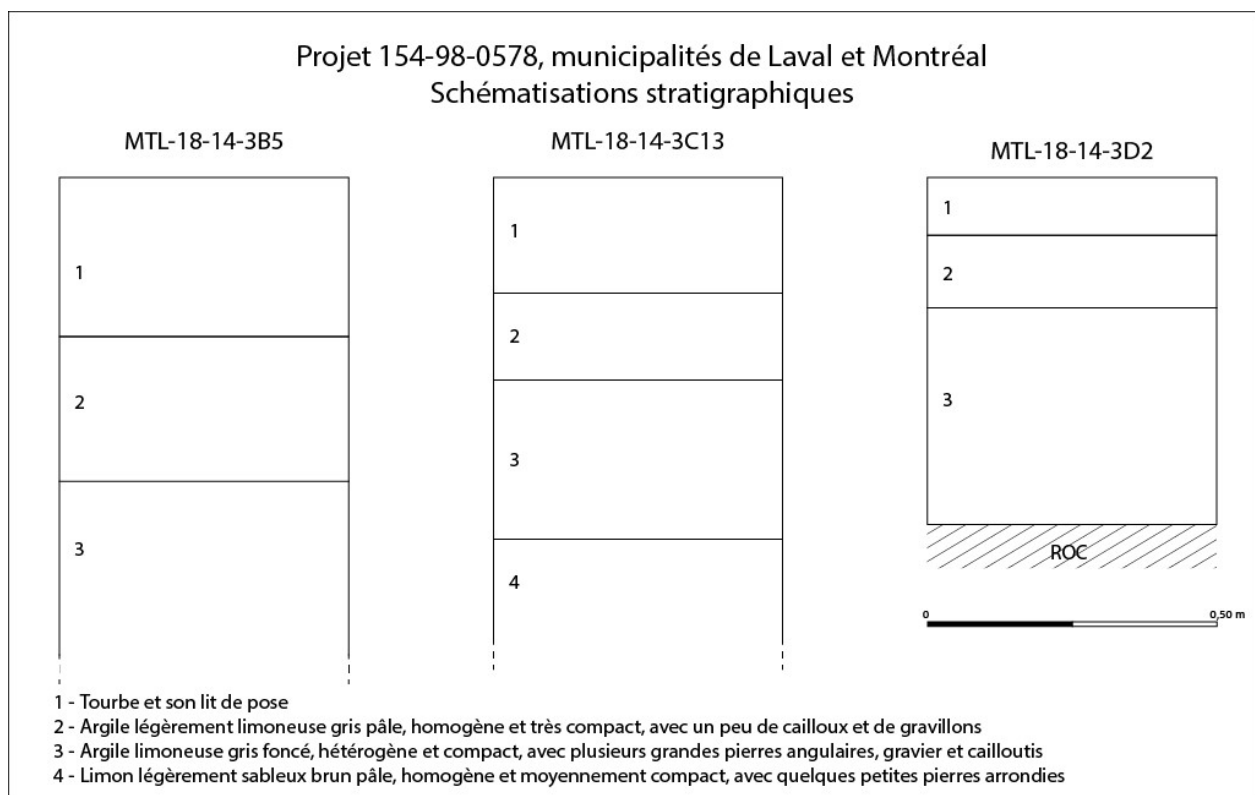


Figure 9 : Projet n° 154-98-0578, profils stratigraphiques types.



Figure 10 : Projet no 154-98-0578, secteur 1C, paroi est du sondage test 1C13, vers l'est (photo 154-98-0578_81).



Figure 11 : Projet no 154-98-0578, secteur 1D, paroi sud du sondage test 1D2, vers le sud (photo 154-98-0578_106).

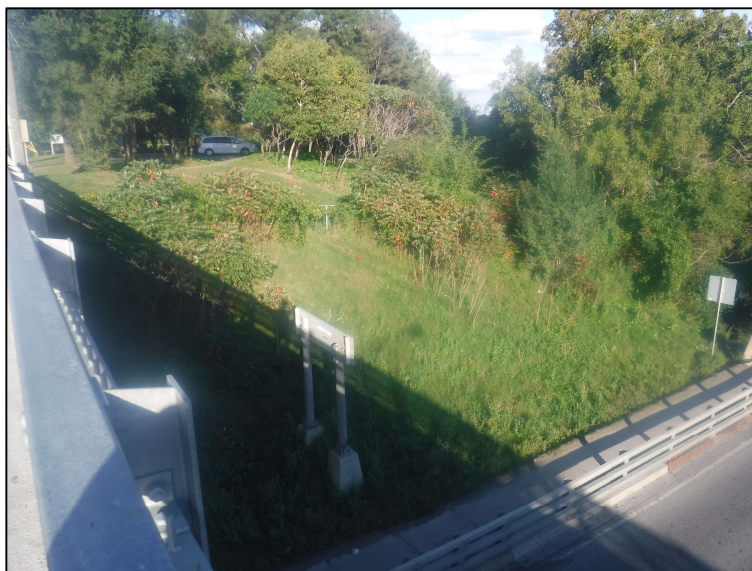


Figure 12 : Projet no 154-98-0578, secteur 1E, vue générale de l'ilot ouest, vers le sud-est (photo 154-98-0578_148).



Figure 13 : Projet no 154-98-0578, secteur 1E, paroi est du sondage 1E5, vers l'est (photo 154-98-0578_142).

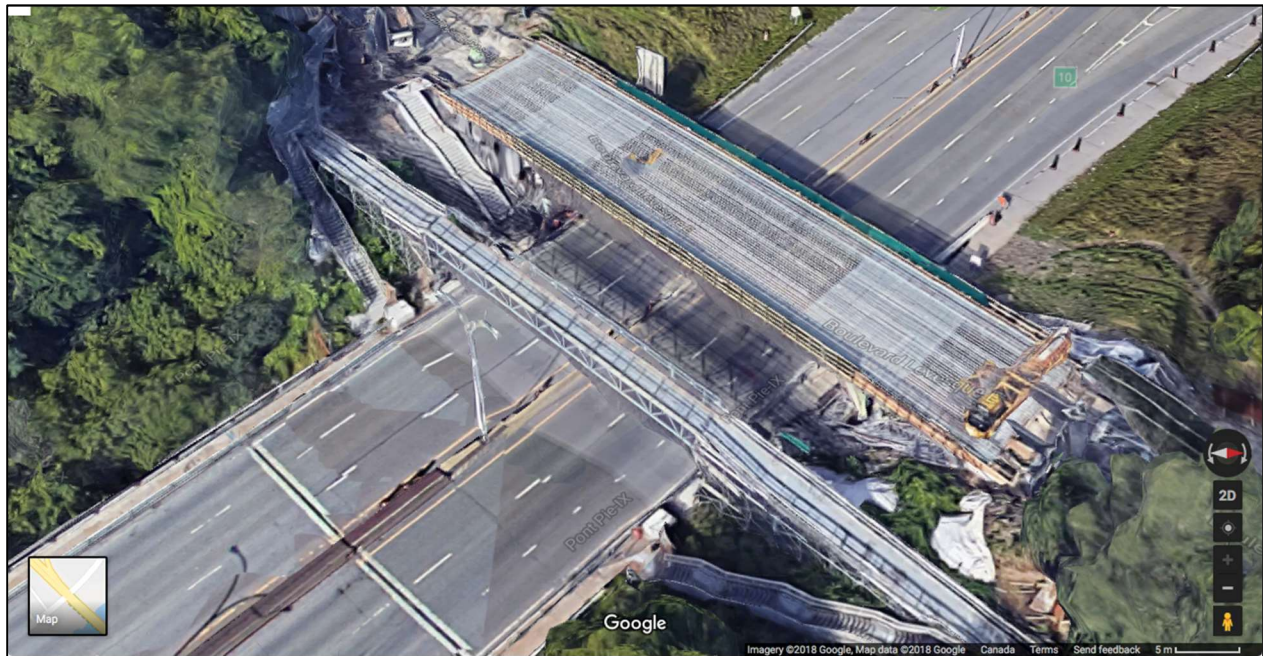


Figure 14 : Vue satellite du viaduc Lévesque en réfection, présence d'une passerelle piétonnière temporaire dans le secteur 1E, vers l'ouest (*Google Maps*, en ligne, consulté le 10 octobre 2018).

6.0 CONCLUSION ET RECOMMANDATIONS

Ce rapport présente les résultats de l'inventaire archéologique réalisé dans le cadre du projet de réfection majeure du pont Pie-IX de la direction de la Communauté urbaine de Montréal du MTMDET. L'inventaire a couvert une emprise totalisant 2 202 m de longueur, sur une largeur variant entre 50 et 100 m, pour une superficie totale approximant 19 500 m². Les inspections visuelles et les 116 sondages archéologiques réalisés au cours de cet inventaire n'ont pas mené à la découverte de site archéologique.

Bien que les résultats de l'intervention soient négatifs, l'absence de site archéologique au sein de l'emprise ne peut être assurée. La présence de remblais très compacts a restreint la profondeur atteinte dans l'ensemble des sous-opérations, à l'exception de 3D où le roc apparaissait relativement tôt dans la stratigraphie. Les travaux de construction du pont et d'aménagement des accès routiers ont clairement perturbé les couches en place. L'étude géotechnique et de caractérisation environnementale des sols de LMV (2012) a toutefois permis d'évaluer le potentiel archéologique de l'ensemble du secteur. Un décapage important de la surface succédé de rehaussements semble affecter le secteur 3D, et la majeure partie des secteurs 3B et 3C. L'absence de découverte pour les portions préservées de ces secteurs suggère un potentiel résiduel très faible. Pour les secteurs 3A et 3E, toutefois, un potentiel de découverte subsiste sous les remblais puisqu'il est possible qu'ils n'aient fait l'objet que de rehaussements. Pour cette raison, il s'avérerait pertinent d'y réaliser un inventaire mécanique là où il n'a pas été possible de vérifier la présence de site archéologique, ou du moins à une supervision archéologique lors des travaux pour les secteurs 3A et 3E.

7.0 BIBLIOGRAPHIE

7.1 Sources primaires

Archives de Montréal

Catalogue des archives de la Ville de Montréal

- *Vues aériennes – Pont Pie-IX*, Rhéal Benny – 16 septembre 1974. Pièce VM94-B124-002

7.2 Sources secondaires

ARKÉOS, 1995 : *Interventions archéologiques, boulevard Gouin, Montréal (Sault-au-Récollet), 1994, projet CSEVM 852*, CSEVM, page consultée en octobre 2018

ARKÉOS, 2008 : *Interventions archéologiques dans les rues de Montréal, 2006. 73E avenue, Rivière-des-Prairies (MTL06-19-1), avenue de l'Esplanade (BjFj-130) rue Saint-Jacques (MTL06-25-2) rue Lacombe (MTL06-4-1) avenue Hawarden (MTL07-25-2)*. Ville de Montréal, page consultée en octobre 2018

BARRIAULT, Monique, 1984 : *Inventaire des artefacts du site de la maison Demers, BjFj-19*. MAC, page consultée en octobre 2018.

Communauté urbaine de Montréal (CUM), 1986 : *Architecture rurale*. Répertoire d'architecture traditionnelle sur le territoire de la Communauté urbaine de Montréal. Montréal : CUM.

D'AMOUR, Valérie et Alan M. STEWART, 2006 : *Étude historique de la maison Brignon dit Lapierre, 4251, boulevard Gouin Est*. Montréal : Ville de Montréal.

Division du patrimoine et de la toponymie, 2005 : *Évaluation du patrimoine urbain, arrondissement de Montréal-Nord*, Montréal, Ville de Montréal, Service de la mise en valeur du territoire et du patrimoine, Direction du développement urbain, Cote : NA/747/M6E924/2005 CAR

ETHNOSCOP, 2009 : *Étude de potentiel et interventions archéologiques au parc nature de l'Île-de-la-Visitation, MTL06-01-1 et MTL07-01-1, 2007*. Ville de Montréal, page consultée en octobre 2018.

GUIARD, Jean Paul, 2014 : *Le pont Pie-IX*, SHGMN, Montréal-Nord, Québec.

LVM, 2016 : *Réparation du pont du boulevard Lévesque au-dessus de l'autoroute 125, Laval : Rapport d'étude géotechnique et de caractérisation environnementale sommaire des sols*. Étude pour la Direction Laval-Mille-Îles de Transports Québec, Laval.

MAJOR, Mélanie, 2011 : *Guide de reconnaissance des types écologiques de la région écologique 3A – Plaine du bas Outaouais et de l'archipel de Montréal*, ministère des Ressources naturelles et de la Faune, Forêt Québec, Direction des inventaires forestiers, Division de la classification écologique et productivité des stations.

Ministère de la Culture et des Communications (MCC), 2018 : *Répertoire du patrimoine culturel du Québec (RPCQ)*. Gouvernement du Québec, Québec.

PINARD, Guy, 1991 : *Montréal, son histoire, son architecture*. Montréal : Éditions du Méridien.

Ville de Montréal, 2007 : *Analyse patrimoniale de la maison des Brignon dit Lapierre*. Montréal : Ville de Montréal.

7.3 Sites Internet

Ministère de la Sécurité Publique, 2018 : *Géo-Portail du MSP; Culture et Communications*. [En ligne]. <http://portail.msp.gouv.qc.ca>, page consultée en octobre 2018.

Ville de Laval: *Des origines à 1854* [en ligne] : <https://www.laval.ca/histoire-et-patrimoine/Pages/Fr/origines-a-1854.aspx>, page consultée en octobre 2018

Ville de Montréal : *Fondation de Montréal-Nord*, [en ligne] : http://ville.montreal.qc.ca/portal/page?_pageid=8717,97169656&_dad=portal&_schema=PORTAL, page consultée en octobre 2018

ANNEXE 1

CATALOGUE DES PHOTOGRAPHIES

No	Secteur	Description	Orient.	Date
154-98-0578_01	Secteur 3A	Vue générale du secteur 3A, portion au sud de la rue Gouin.	S	24/09/2018
154-98-0578_02	Secteur 3A	Vue générale du secteur 3A, portion au sud de la rue Gouin.	SO	24/09/2018
154-98-0578_03	Secteur 3A	Vue générale du secteur 3A, portion au sud de la rue Gouin.	ESE	24/09/2018
154-98-0578_04	Secteur 3A Puits 1	Vue en plan du puits 1, présence d'asphalte sous la tourbe	NNO	24/09/2018
154-98-0578_05	Secteur 3A	Vue générale du secteur 3A, portion au sud de la rue Gouin, sous le pont	S	24/09/2018
154-98-0578_06	Secteur 3A	Vue générale du secteur 3A, portion au nord de la rue Gouin, sous le pont	NE	24/09/2018
154-98-0578_07	Secteur 3A	Vue générale du secteur 3A, portion au nord de la rue Gouin, sous le pont	N	24/09/2018
154-98-0578_08	Secteur 3A	Vue générale du secteur 3A, portion au nord de la rue Gouin, à l'est du pont	E	24/09/2018
154-98-0578_09	Secteur 3A	Vue générale du secteur 3A, portion au nord de la rue Gouin, sous le pont	N	24/09/2018
154-98-0578_10	Secteur 3A	Vue générale du secteur 3A, portion au sud de la rue Gouin.	O	24/09/2018
154-98-0578_11	Secteur 3A	Vue générale du secteur 3A, portion au nord de la rue Gouin, sous le pont	NO	24/09/2018
154-98-0578_12	Secteur 3A	Vue générale du secteur 3A, portion au nord de la rue Gouin, à l'est du pont	N	24/09/2018
154-98-0578_13	Secteur 3A Puits 3	Vue en plan du puits 3, présence de béton à la base du puits	S	24/09/2018
154-98-0578_14	Secteur 3A Puits 3	Profil stratigraphique de la paroi est du puits 3	E	24/09/2018
154-98-0578_15	Secteur 3A Puits 3	Profil stratigraphique de la paroi est du puits 3	E	24/09/2018
154-98-0578_16	Secteur 3A	Vue générale du secteur 3A, portion au nord de la rue Gouin, à l'est du pont, en bordure de la rivière	E	24/09/2018
154-98-0578_17	Secteur 3A	Vue générale du secteur 3A, portion au nord de la rue Gouin, à l'est du pont, en bordure de la rivière	NE	24/09/2018
154-98-0578_18	Secteur 3A	Vue générale du secteur 3A, portion au nord de la rue Gouin, à l'est du pont, en bordure de la rivière	SO	24/09/2018
154-98-0578_19	Secteur 3A	Vue générale du secteur 3A, portion au nord de la rue Gouin, à l'est du pont, en bordure de la rivière	O	24/09/2018
154-98-0578_20	Secteur 3A	Vue générale du secteur 3A, portion sous le pont, en bordure de la rivière des Prairies	O	24/09/2018
154-98-0578_21	Secteur 3A	Détail de la végétation en amont de la falaise. Présence de panais sauvage	E	24/09/2018
154-98-0578_22	Secteur 3A	Détail de l'empierrement présent sous le pont, en bordure de la falaise	ONO	24/09/2018

No	Secteur	Description	Orient.	Date
154-98-0578_23	Secteur 3A Puits 4	Profil stratigraphique de la paroi est du puits 4	E	24/09/2018
154-98-0578_24	Secteur 3A Puits 6	Profil stratigraphique de la paroi nord du puits 6	N	24/09/2018
154-98-0578_25	Secteur 3A Puits 8	Vue en plan du puits 8, présence d'un niveau de pierre calcaire.	S	24/09/2018
154-98-0578_26	Secteur 3A Puits 8	Profil stratigraphique de la paroi est du puits 8	E	24/09/2018
154-98-0578_27	Secteur 3A Puits 9	Profil stratigraphique de la paroi nord du puits 9	N	24/09/2018
154-98-0578_28	Secteur 3A Puits 12	Profil stratigraphique de la paroi ouest du puits 12	OSO	24/09/2018
154-98-0578_29	Secteur 3A Puits 14	Profil stratigraphique de la paroi nord du puits 14	N	24/09/2018
154-98-0578_30	Secteur 3A Puits 13	Vue en plan du puits 13, base arbitraire dans un niveau d'argile grise homogène et très compacte.	ONO	24/09/2018
154-98-0578_31	Secteur 3A Puits 13	Vue en plan du puits 13, base arbitraire dans un niveau d'argile grise homogène et très compacte.	ONO	24/09/2018
154-98-0578_32	Secteur 3A Puits 13	Profil stratigraphique de la paroi sud du puits 13	SE	24/09/2018
154-98-0578_33	Secteur 3A Puits 13	Profil stratigraphique de la paroi sud du puits 13	SE	24/09/2018
154-98-0578_34	Secteur 3A	Vue générale du secteur 3A, portion à l'est du pont, en bordure de la rivière des Prairies	E	24/09/2018
154-98-0578_35	Secteur 3A	Vue générale du secteur 3A, portion à l'ouest du pont, en bordure de la rivière des Prairies	N	24/09/2018
154-98-0578_36	Secteur 3A	Détail de l'empierrement sous le pont, aménagement de la falaise	SO	24/09/2018
154-98-0578_37	Secteur 3A	Vue générale du secteur 3A, portion sous le pont, en bordure de la rivière des Prairies	E	24/09/2018
154-98-0578_38	Secteur 3A	Vue générale du secteur 3A, portion sous le pont, en bordure de la rivière des Prairies (berge et falaise)	S	24/09/2018
154-98-0578_39	Secteur 3A	Vue générale du secteur 3A, portion sous le pont, en bordure de la rivière des Prairies (berge et falaise)	S	24/09/2018
154-98-0578_40	Secteur 3A	Vue générale du secteur 3A, portion sous le pont, en bordure de la rivière des Prairies (berge et falaise)	S	24/09/2018
154-98-0578_41	Secteur 3A	Vue générale du secteur 3A, portion sous le pont, en bordure de la rivière des Prairies (berge et falaise)	S	24/09/2018
154-98-0578_42	Secteur 3A	Détail du secteur 3A, portion sous le pont, en bordure de la rivière des Prairies (berge et falaise)	S	24/09/2018
154-98-0578_43	Secteur 3A	Détail du secteur 3A, portion sous le pont, en bordure de la rivière des Prairies (berge et falaise)	S	24/09/2018
154-98-0578_44	Secteur 3A	Vue générale du secteur 3A, portion de la berge à l'est du pont	E	24/09/2018
154-98-0578_45	Secteur 3A	Vue générale du secteur 3A, portion à l'est du pont, en bordure de la rivière des Prairies (berge et falaise)	S	24/09/2018
154-98-0578_46	Secteur 3A	Détail du secteur 3A, portion à l'est du pont, en bordure de la rivière des Prairies (berge et falaise)	S	24/09/2018

No	Secteur	Description	Orient.	Date
154-98-0578_47	Secteur 3A	Vue générale du secteur 3A, portion à l'est du pont, en bordure de la rivière des Prairies (berge et falaise)	O	24/09/2018
154-98-0578_48	Secteur 3A	Vue générale du secteur 3A, portion à l'est du pont, en bordure de la rivière des Prairies (berge et falaise)	O	24/09/2018
154-98-0578_49	Secteur 3B Puits 1	Vue en plan du puits 1	NNO	25/09/2018
154-98-0578_50	Secteur 3B Puits 1	Profil stratigraphique de la paroi nord du puits 1	NNO	25/09/2018
154-98-0578_51	Secteur 3B Puits 2	Vue en plan du puits 2	NNO	25/09/2018
154-98-0578_52	Secteur 3B Puits 2	Profil stratigraphique de la paroi nord du puits 2, base sur un niveau de pierre calcaire.	NNO	25/09/2018
154-98-0578_53	Secteur 3B	Vue générale du secteur 3B	NNO	27/09/2018
154-98-0578_54	Secteur 3B	Vue générale du secteur 3B	NNO	27/09/2018
154-98-0578_55	Secteur 3B	Détail présence d'herbes à puces dans la pointe nord de la zone 1.	N	27/09/2018
154-98-0578_56	Secteur 3B Puits 17	Vue en plan du puits 17, roc atteint	O	27/09/2018
154-98-0578_57	Secteur 3B Puits 17	Détail de la base du puits 17, roc atteint	O	27/09/2018
154-98-0578_58	Secteur 3B Puits 17	Profil stratigraphique de la paroi ouest du puits 17	O	27/09/2018
154-98-0578_59	Secteur 3B Puits 5	Vue en plan du puits 5, sondage test	O	27/09/2018
154-98-0578_60	Secteur 3B Puits 5	Détail de la base du puits 5, base arbitraire dans un remblai argileux gris foncé, hétérogène et très	O	27/09/2018
154-98-0578_61	Secteur 3B Puits 5	Profil stratigraphique de la paroi ouest du puits 5	O	27/09/2018
154-98-0578_62	Secteur 3B	Vue générale du secteur 3B	N	27/09/2018
154-98-0578_63	Secteur 3B	Vue générale du secteur 3B	N	27/09/2018
154-98-0578_64	Secteur 3B	Vue générale du secteur 3B, portion sud	SO	27/09/2018
154-98-0578_65	Secteur 3B	Vue générale du secteur 3B, portion nord	ONO	27/09/2018
154-98-0578_66	Secteur 3B	Vue générale du secteur 3B, portion nord	ONO	27/09/2018
154-98-0578_67	Secteur 3B et 3D	Vue générale de la jonction entre des secteurs 3B et 3D	N	27/09/2018
154-98-0578_68	Secteur 3C	Vue générale du secteur 3C	N	27/09/2018
154-98-0578_69	Secteur 3D	Vue générale du secteur 3D	N	27/09/2018
154-98-0578_70	Secteur 3D	Vue générale du secteur 3D	N	27/09/2018

No	Secteur	Description	Orient.	Date
154-98-0578_71	Secteur 3E	Vue générale du secteur 3E, portion sous le pont, falaise et berge	S	27/09/2018
154-98-0578_72	Secteur 3E	Vue générale du secteur 3E, portion sous le pont, falaise et berge	SO	27/09/2018
154-98-0578_73	Secteur 3E	Vue générale du secteur 3E, portion sous le pont, falaise et berge	NE	27/09/2018
154-98-0578_74	Secteur 3E	Vue générale du secteur 3E, portion sous le pont, falaise et berge	SO	27/09/2018
154-98-0578_75	Secteur 3E	Détail de la végétation du secteur 3E, portion de la falaise	NE	27/09/2018
154-98-0578_76	Secteur 3E	Vue générale du secteur 3E, portion sous le pont, falaise et berge	SO	27/09/2018
154-98-0578_77	Secteur 3E	Détail de la végétation et des débris de béton du secteur 3E, portion de la falaise	S	27/09/2018
154-98-0578_78	Secteur 3E	Détail de la végétation et des débris de béton du secteur 3E, portion de la falaise	E	27/09/2018
154-98-0578_79	Secteur 3C Puits 13	Vue en plan du puits 13, sondage test	O	27/09/2018
154-98-0578_80	Secteur 3C Puits 13	Détail de la base du puits 13, base arbitraire dans le sol naturel?	O	27/09/2018
154-98-0578_81	Secteur 3C Puits 13	Profil stratigraphique de la paroi est du puits 13	E	27/09/2018
154-98-0578_82	Secteur 3C Puits 13	Détail de la base du puits 13, base arbitraire dans le sol naturel?	O	27/09/2018
154-98-0578_83	Secteur 3C Puits 19	Vue en plan du puits 19, sondage test	S	27/09/2018
154-98-0578_84	Secteur 3C Puits 19	Profil stratigraphique de la paroi sud du puits 19	S	27/09/2018
154-98-0578_85	Secteur 3C Puits 19	Profil stratigraphique de la paroi sud du puits 19	S	27/09/2018
154-98-0578_86	Secteur 3C Puits 35	Vue en plan du puits 35	E	28/09/2018
154-98-0578_87	Secteur 3C Puits 35	Détail de la base du puits 35	E	28/09/2018
154-98-0578_88	Secteur 3C Puits 35	Profil stratigraphique de la paroi est du puits 35	E	28/09/2018
154-98-0578_89	Secteur 3D Puits 29	Vue en plan du puits 29	S	28/09/2018
154-98-0578_90	Secteur 3D Puits 29	Détail de la base du puits 29	S	28/09/2018
154-98-0578_91	Secteur 3D Puits 29	Profil stratigraphique de la paroi est du puits 29	E	28/09/2018
154-98-0578_92	Secteur 3D Puits 29	Profil stratigraphique de la paroi est du puits 29	E	28/09/2018
154-98-0578_93	Secteur 3D Puits 32	Vue en plan du puits 32	S	28/09/2018
154-98-0578_94	Secteur 3D Puits 32	Détail de la base du puits 32	S	28/09/2018

No	Secteur	Description	Orient.	Date
154-98-0578_95	Secteur 3D Puits 32	Profil stratigraphique de la paroi sud du puits 32	S	28/09/2018
154-98-0578_96	Secteur 3D Puits 32	Profil stratigraphique de la paroi sud du puits 32	S	28/09/2018
154-98-0578_97	Secteur 3D Puits 21	Vue en plan du puits 21	N	28/09/2018
154-98-0578_98	Secteur 3D Puits 21	Profil stratigraphique de la paroi nord du puits 21	N	28/09/2018
154-98-0578_99	Secteur 3D Puits 4	Vue en plan du puits 4	S	28/09/2018
154-98-0578_100	Secteur 3D Puits 4	Détail de la base du puits 4	S	28/09/2018
154-98-0578_101	Secteur 3D Puits 4	Profil stratigraphique de la paroi sud du puits 4	S	28/09/2018
154-98-0578_102	Secteur 3D Puits 4	Profil stratigraphique de la paroi sud du puits 4	S	28/09/2018
154-98-0578_103	Secteur 3D Puits 2	Vue en plan du puits 2	S	28/09/2018
154-98-0578_104	Secteur 3D Puits 2	Détail de la base du puits 2	S	28/09/2018
154-98-0578_105	Secteur 3D Puits 2	Profil stratigraphique de la paroi sud du puits 2	S	28/09/2018
154-98-0578_106	Secteur 3D Puits 2	Profil stratigraphique de la paroi sud du puits 2	S	28/09/2018
154-98-0578_107	Secteur 3D	Vue générale du secteur 3D, portion sud	SE	28/09/2018
154-98-0578_108	Secteur 3D	Vue générale du secteur 3D, portion sud	S	28/09/2018
154-98-0578_109	Secteurs 3C et 3D	Vue générale des secteurs 3C et 3D, portion nord	ENE	28/09/2018
154-98-0578_110	Secteurs 3C et 3D	Vue générale des secteurs 3C et 3D, portion sud	SE	28/09/2018
154-98-0578_111	Secteur 3D	Vue générale du secteur 3D, portion nord	N	28/09/2018
154-98-0578_112	Secteur 3D	Vue générale du secteur 3D, portion centrale	E	28/09/2018
154-98-0578_113	Secteur 3D	Vue générale du secteur 3D, portion sud	S	28/09/2018
154-98-0578_114	Secteur 3D	Vue générale du secteur 3D, portion sud	S	28/09/2018
154-98-0578_115	Secteur 3D	Vue générale du secteur 3D, portion sud	S	28/09/2018
154-98-0578_116	Secteur 3B	Vue générale du secteur 3B	S	28/09/2018
154-98-0578_117	Secteur 3E	Détail d'un cadavre de rongeur trouvé dans le puits abandonné, secteur à l'est du pont	H.C.	28/09/2018
154-98-0578_118	Secteur 3E	Vue générale du puits abandonné contenant plusieurs sachets avec cadavre de rongeur	S	28/09/2018

No	Secteur	Description	Orient.	Date
154-98-0578 119	Secteur 3E	Vue générale du puits abandonné contenant plusieurs sachets avec cadavre de rongeur	SO	28/09/2018
154-98-0578 120	Secteur 3E Puits 1	Vue en plan du puits 1	N	28/09/2018
154-98-0578 121	Secteur 3E Puits 1	Détail de la base du puits 1	N	28/09/2018
154-98-0578 122	Secteur 3E Puits 1	Détail de la base du puits 1	N	28/09/2018
154-98-0578 123	Secteur 3E Puits 1	Profil stratigraphique de la paroi nord du puits 1	N	28/09/2018
154-98-0578 124	Secteur 3E Puits 1	Profil stratigraphique de la paroi nord du puits 1	N	28/09/2018
154-98-0578 125	Secteur 3E Puits 3	Vue en plan du puits 3	NO	28/09/2018
154-98-0578 126	Secteur 3E Puits 3	Détail de la base du puits 3	NO	28/09/2018
154-98-0578 127	Secteur 3E Puits 3	Détail de la base du puits 3	NO	28/09/2018
154-98-0578 128	Secteur 3E Puits 3	Profil stratigraphique de la paroi nord du puits 3	NO	28/09/2018
154-98-0578 129	Secteur 3E Puits 3	Profil stratigraphique de la paroi nord du puits 3	NO	28/09/2018
154-98-0578 130	Secteur 3E	Vue générale du secteur 3E, portion à l'est du pont, situé dans le belvédère.	SO	28/09/2018
154-98-0578 131	Secteur 3E	Vue générale du secteur 3E, portion à l'est du pont, situé dans le belvédère.	NO	28/09/2018
154-98-0578 132	Secteur 3E	Vue générale du secteur 3E, portion à l'est du pont, situé dans le belvédère.	N	28/09/2018
154-98-0578 133	Secteur 3E Puits 6	Vue en plan du puits 6	O	28/09/2018
154-98-0578 134	Secteur 3E Puits 6	Détail de la base du puits 6	O	28/09/2018
154-98-0578 135	Secteur 3E Puits 6	Profil stratigraphique de la paroi ouest du puits 6	O	28/09/2018
154-98-0578 136	Secteur 3E Puits 6	Profil stratigraphique de la paroi ouest du puits 6	O	28/09/2018
154-98-0578 137	Secteur 3E Puits 4	Vue en plan du puits 4	E	28/09/2018
154-98-0578 138	Secteur 3E Puits 4	Vue en plan du puits 4, remblai de pierre présent sous la tourbe	E	28/09/2018
154-98-0578 139	Secteur 3E Puits 4	Profil stratigraphique de la paroi sud du puits 4	S	28/09/2018
154-98-0578 140	Secteur 3E Puits 5	Vue en plan du puits 5, sondage test	N	28/09/2018
154-98-0578 141	Secteur 3E Puits 5	Profil stratigraphique de la paroi est du puits 5	E	28/09/2018
154-98-0578 142	Secteur 3E Puits 5	Profil stratigraphique de la paroi est du puits 5	E	28/09/2018

No	Secteur	Description	Orient.	Date
154-98-0578_143	Secteur 3E	Vue générale du secteur 3E, portion à l'ouest du pont, en amont de la falaise	SO	28/09/2018
154-98-0578_144	Secteur 3E	Vue générale du secteur 3E, portion à l'ouest du pont, en amont de la falaise, au sud de l'escalier	S	28/09/2018
154-98-0578_145	Secteur 3E	Vue générale du secteur 3E, portion à l'ouest du pont, en amont de la falaise, terrain aménagé au	S	28/09/2018
154-98-0578_146	Secteur 3E	Vue générale du secteur 3E, portion à l'est du pont, au sud du viaduc Lévesque	E	28/09/2018
154-98-0578_147	Secteur 3E	Vue générale du secteur 3E, portion à l'est du pont, au sud du viaduc Lévesque	E	28/09/2018
154-98-0578_148	Secteur 3E	Vue générale du secteur 3E, portion à l'est du pont, au sud du viaduc Lévesque	SE	28/09/2018
154-98-0578_149	Laval	Vue générale de Laval, portion au nord du boul. Lévesque	N	28/09/2018
154-98-0578_150	Laval	Vue générale de Laval, portion au nord du boul. Lévesque	NE	28/09/2018
154-98-0578_151	Laval	Vue générale de Laval, portion au nord du boul. Lévesque, à l'est de la route 125	E	28/09/2018
154-98-0578_152	Laval	Vue générale de Laval, portion au nord du boul. Lévesque	NE	28/09/2018
154-98-0578_153	Laval	Vue générale de Laval, portion au nord du boul. Lévesque, à l'ouest de la route 125	NO	28/09/2018

PLANCHE CONTACT



154-98-0578_01



154-98-0578_02



154-98-0578_03



154-98-0578_04



154-98-0578_05



154-98-0578_06



154-98-0578_07



154-98-0578_08



154-98-0578_09



154-98-0578_10



154-98-0578_11



154-98-0578_12



154-98-0578_13



154-98-0578_14



154-98-0578_15



154-98-0578_16



154-98-0578_17



154-98-0578_18



154-98-0578_19



154-98-0578_20



154-98-0578_21



154-98-0578_22



154-98-0578_23



154-98-0578_24



154-98-0578_25



154-98-0578_26



154-98-0578_27



154-98-0578_28



154-98-0578_29



154-98-0578_30



154-98-0578_31



154-98-0578_32



154-98-0578_33



154-98-0578_34



154-98-0578_35



154-98-0578_36



154-98-0578_37



154-98-0578_38



154-98-0578_39



154-98-0578_40



154-98-0578_41



154-98-0578_42



154-98-0578_43



154-98-0578_44



154-98-0578_45



154-98-0578_46



154-98-0578_47



154-98-0578_48



154-98-0578_49



154-98-0578_50



154-98-0578_51



154-98-0578_52



154-98-0578_53



154-98-0578_54



154-98-0578_55



154-98-0578_56



154-98-0578_57



154-98-0578_58



154-98-0578_59



154-98-0578_60



154-98-0578_61



154-98-0578_62



154-98-0578_63



154-98-0578_64



154-98-0578_65



154-98-0578_66



154-98-0578_67



154-98-0578_68



154-98-0578_69



154-98-0578_70



154-98-0578_71



154-98-0578_72



154-98-0578_73



154-98-0578_74



154-98-0578_75



154-98-0578_76



154-98-0578_77



154-98-0578_78



154-98-0578_79



154-98-0578_80



154-98-0578_81



154-98-0578_82



154-98-0578_83



154-98-0578_84



154-98-0578_85



154-98-0578_86



154-98-0578_87



154-98-0578_88



154-98-0578_89



154-98-0578_90



154-98-0578_91



154-98-0578_92



154-98-0578_93



154-98-0578_94



154-98-0578_95



154-98-0578_96



154-98-0578_97



154-98-0578_98



154-98-0578_99



154-98-0578_100



154-98-0578_101



154-98-0578_102



154-98-0578_103



154-98-0578_104



154-98-0578_105



154-98-0578_106



154-98-0578_107



154-98-0578_108



154-98-0578_109



154-98-0578_110



154-98-0578_111



154-98-0578_112



154-98-0578_113



154-98-0578_114



154-98-0578_115



154-98-0578_116



154-98-0578_117



154-98-0578_118



154-98-0578_119



154-98-0578_120



154-98-0578_121



154-98-0578_122



154-98-0578_123



154-98-0578_124



154-98-0578_125



154-98-0578_126



154-98-0578_127



154-98-0578_128



154-98-0578_129



154-98-0578_130



154-98-0578_131



154-98-0578_132



154-98-0578_133



154-98-0578_134



154-98-0578_135



154-98-0578_136



154-98-0578_137



154-98-0578_138



154-98-0578_139



154-98-0578_140



154-98-0578_141



154-98-0578_142



154-98-0578_143



154-98-0578_144



154-98-0578_145



154-98-0578_146



154-98-0578_147



154-98-0578_148



154-98-0578_149



154-98-0578_150



154-98-0578_151



154-98-0578_152



154-98-0578_153

ANNEXE 2

CATALOGUE DES DOCUMENTS GRAPHIQUES

Fichier	Titre	Type	Format	Sources	Auteur
154-98-0578	Localisation du projet n° 154-98-0578	Carte	.ai	▪ BDTQ 31H12102	Artefactuel
154-82-0089-2	Projet n° 154-98-0578, localisation des zones d'inventaire	Photo	.jpg	▪ Google Earth ▪ GPS de terrain	Artefactuel
154-82-0089-3	Projet 154-98-0578, schématisations stratigraphiques	Strati	.ai	▪ Notes de terrain	Artefactuel

ANNEXE 3

CORRESPONDANCE DES SONDAGES ET POINTS GPS

Secteur	No sondage	No points GPS	Secteur	No sondage	No points GPS	Secteur	No sondage	No points GPS
3A	1	1	3C	6	40	3D	12	100
	2	2		7	41		13	99
	3	3		8	42		14	98
	4	4		9	43		15	97
	5	5		10	44		16	96
	6	6		11	45		17	95
	7	7		12	46		18	94
	8	8		13	47		19	93
	9	9		14	48		20	92
	10	10		15	49		21	91
	11	11		16	50		22	90
	12	12		17	51		23	89
	13	13		18	52		24	88
	14	14		19	53		25	87
3B	1	15	20	54	26	86		
	2	16	21	55	27	85		
	3	17	22	56	28	84		
	4	23	23	57	29	83		
	5	22	24	58	30	80		
	6	24	25	59	31	79		
	7	32	26	60	32	78		
	8	18	27	61	33	77		
	9	19	28	62	34	76		
	10	20	29	63	35	75		
	11	21	30	64	36	74		
	12	25	31	65	37	73		
	13	26	32	69	38	72		
	14	27	33	68	39	71		
	15	28	34	67	40	70		
	16	31	35	66	41	81		
3C	1	35	3D	1	111	3E	42	82
	2	36		2	110		1	112
	3	37		3	109		2	113
	4	38		4	108		3	114
	5	39		5	107		Annulé (animaux morts)	115
				6	106		4	117
				7	105		5	118
				8	104		6	116
				9	103		12	100